

В.Н.СМИРНОВ, Е.А.ЗИНЬКОВА, Л.К.ВОРОНИНА

О СОСТАВЕ МАГМАТИЧЕСКОГО ЭПИДОТА ИЗ ГРАНИТОИДОВ
ВЕРХИСЕТСКОГО МАССИВА

Эпидот — характерный минерал гранитоидов Верхисетского массива, присутствует в том или ином количестве практически во всех петрографических разновидностях, слагающих этот массив. Часть эпидота имеет вторичное происхождение и развивается по первичным магматическим минералам либо заполняет трещины в гранитоидах, слагая тонкие прожилки. Однако преобладающая его часть образует равномерно рассеянные в породах самостоятельные зерна, по величине — соизмеримые с зернами других породообразующих минералов. От достоверно вторичного эпидота эти зерна отличаются бледной окраской и более слабым плеохроизмом. Наблюдаются две морфологические разновидности бледноокрашенного эпидота: «идiomорфные» призматические кристаллы и зерна неправильной формы, как правило содержащие мирмекитоподобные вростки кварца. Часто обе разновидности слагают единые зерна, которые отчетливо идиоморфны по отношению к биотиту, но на контакте с плагиоклазом и кварцем имеют неправильные, сильно изрезанные ограничения и мирмекитоподобную структуру. Широко распространены также ксерноморфные зерна эпидота, краевые части которых содержат мирмекитовые вростки кварца, а центральные — лишены их.

По морфологии и внутреннему строению зерен охарактеризованная бледноокрашенная разновидность эпидота полностью аналогична эпидотам, описанным в литературе в качестве магматических /5 и др./ . Определение нами порядка кристаллизации породообразующих минералов по методике, предложенной Г.Б.Ферштатером с соавторами /3/ — на основании содержания фтора во включенных в них апатитах, показало, что рассматриваемая разновидность эпидота в гранитоидах Верхисетского массива также имеет магматический генезис.

Опубликованные в литературе сведения о составе магматического эпидота немногочисленны, что побудило нас провести изучение эпидотов в породах Верхисетского массива с помощью рентгеновского микроанализатора. Полученные данные приведены в таблице, из которой видно, что химический состав эпидота довольно устойчив. Величина отношения $Fe^{3+}/(Fe^{3+}+Al)$, отражающая содержание в них пистацитового компонента — $Ca_2Fe_3Si_3O_{12}(OH)$, изменяется от 26 до 30%. Выполненные микрозондовые определения хорошо согласуются с результатами химического анализа мономинеральных фракций эпидотов, опубликованных ранее И.Н.Бупляковым /2/. Близкие значения получены также Н.С.Бородиной на основе определения двупреломления эпидотов /1/, однако, по ее данным, вариации содержания железистого компонента значительно шире: выделяется особая группа маложелезистых эпидотов, содержащихся в богатых магнетитом разновидностях гранитоидов. Судя по имеющимся данным, эпидоты Верхисетского массива по химическому составу не отличаются от магматических эпидотов других районов мира /4, 5 и др./ .

Химический состав эпидотов из гранитоидов
Верхисетского массива, мас. %

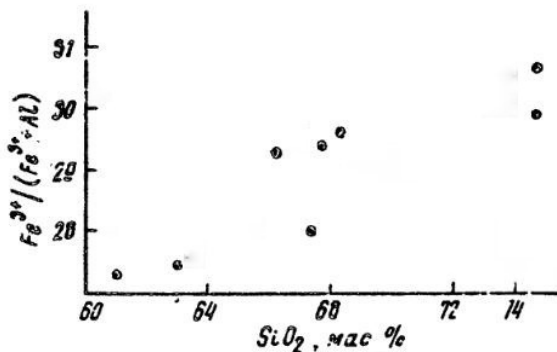
| Компонент | 1* | 2 | 3 | 4 | 5 | 6 | 7 | 8 |
|---|-------|-------|-------|-------|-------|-------|-------|-------|
| SiO ₂ | 38,52 | 37,16 | 38,65 | 38,87 | 38,66 | 37,45 | 38,46 | 36,93 |
| TiO ₂ | 0,06 | 0,00 | 0,19 | 0,00 | 0,00 | 0,00 | 0,00 | 0,00 |
| Al ₂ O ₃ | 21,34 | 23,39 | 20,73 | 23,36 | 23,37 | 23,92 | 23,84 | 24,01 |
| Fe ₂ O ₃ | 13,98 | 13,63 | 14,30 | 13,52 | 13,02 | 13,87 | 14,00 | 13,63 |
| MnO | 0,21 | 0,05 | 0,44 | 0,11 | 0,11 | 0,18 | 0,06 | 0,15 |
| MgO | 0,00 | 0,32 | 0,00 | 0,30 | 0,34 | 0,72 | 0,30 | 0,27 |
| CaO | 23,42 | 22,90 | 23,19 | 22,96 | 23,02 | 23,07 | 23,05 | 23,52 |
| Na ₂ O | 0,00 | 0,00 | 0,00 | 0,03 | 0,03 | 0,03 | 0,00 | 0,03 |
| K ₂ O | 0,00 | 0,01 | 0,00 | 0,01 | 0,00 | 0,00 | 0,01 | 0,00 |
| С у м м а | 97,53 | 97,45 | 97,50 | 99,16 | 98,55 | 99,24 | 99,72 | 98,51 |
| Коэффициенты кристаллохимических формул | | | | | | | | |
| Si | 3,097 | 2,971 | 3,116 | 3,055 | 3,053 | 2,935 | 3,007 | 2,917 |
| Al | 2,025 | 2,204 | 1,970 | 2,163 | 2,175 | 2,209 | 2,197 | 2,236 |
| Ti | 0,003 | 0,000 | 0,012 | 0,000 | 0,000 | 0,000 | 0,000 | 0,000 |
| Fe ³⁺ | 0,845 | 0,820 | 0,868 | 0,801 | 0,774 | 0,816 | 0,824 | 0,811 |
| Mg | 0,000 | 0,038 | 0,000 | 0,035 | 0,040 | 0,084 | 0,035 | 0,031 |
| Mn | 0,014 | 0,003 | 0,031 | 0,008 | 0,008 | 0,012 | 0,001 | 0,010 |
| Ca | 2,017 | 1,961 | 2,004 | 1,933 | 1,948 | 1,937 | 1,931 | 1,991 |
| Fe ³⁺ /(Fe ³⁺ +Al), % | 29,49 | 27,11 | 30,57 | 26,78 | 26,25 | 27,02 | 27,27 | 26,61 |

* 1-3 - идиоморфные зерна эпидота: 1 - из адамеллита, 2 - из гранодиорита, 3 - из пегматита; 4-7 - зерна эпидота, идиоморфные по отношению к биотиту, но ксеноморфные на контакте с плагиоклазом и кварцем: 4 - не содержащая мирмекитоподобных вростков центральная часть зерна эпидота из плагиогранита, 5 - периферическая часть того же зерна с мирмекитоподобной структурой, 6 - не содержащая мирмекитоподобных вростков центральная часть зерна эпидота из кварцевого диорита, 7 - периферическая часть того же зерна; 8 - ксеноморфное зерно с мирмекитоподобной структурой из кварцевого диорита.

Анализ выполнен на рентгеновском микроанализаторе JXA-5 в Институте геологии и геохимии УрО РАН. Аналитик Л.К.Воронина.

Сравнение двух выделенных разновидностей: идиоморфных кристаллов эпидота и ксеноморфных зерен с мирмекитоподобной структурой - не выявило существенных различий между ними (см. таблицу). При сопоставлении состава эпидотов из разных пород обнаружилась хорошая корреляция между содержанием пистацитового компонента в эпидотах и кремнекислотностью пород (см. рисунок). Зависи -

Диаграмма $Fe^{3+}/(Fe^{3+}+Al)$ в эпидоте - SiO_2 в породе



мость между величиной $Fe^{3+}/(Fe^{3+}+Al)$ эпидотов и железистостью пород выражена менее отчетливо.

С п и с о к л и т е р а т у р ы

1. Борсдина Н.С., Двоеглазов Д.А., Ферштатер Г.Б., Чашукина В.А. Применение анализа феррофаций для интерпретации магнитных аномалий над гранодиоритами Верхисетского массива в связи с условиями петрогенезиса // Ежегодник-1978 / Ин-т геологии и геохимии УНЦ АН СССР Свердловск, 1979. С.45-48.

2. Бушмяков И.Н., Соболев И.Д. Петрология, минералогия и геохимия гранитоидов Верхисетского массива. М.: Наука, 1976.

3. Ферштатер Г.Б., Чашукина В.А., Вилисов В.А. Геохимические критерии определения порядка кристаллизации пород // Геохимия. 1986. № 6. С.771-779.

4. Johnston A.D., Wylie P.I. Constraints on the origin of Archean trondhjemites based on phase relationships of Nuk gneiss with H_2O at 15 kbar // Contrib. Mineral. Petrol. 1988. Vol. 100, N 1. P.35-46.

5. Lez Be-an, Hammarstrom I.M. Magnetic epidote and its petrologic significance // Geology. 1984. Vol. 12, N 9. P.515-518.